

บทที่ 4 ผลการทดลองและวิจารณ์

การศึกษาครั้งนี้ใช้สตาร์ชมันสำปะหลังผสมกับสตาร์ชข้าวอะมิโลสสูงในสัดส่วนสตาร์ชมันสำปะหลัง (C): สตาร์ชข้าวอะมิโลสสูง (R) เท่ากับ 100:0 90:10 80:20 70:30 60:40 50:50 40:60 30:70 20:80 10:90 และ 0:100 ผลิตเป็นสตาร์ชผสมพรีเจลด้วยวิธีพรีเจลาติโนเซชัน ผลการศึกษาสมบัติของสตาร์ชดิบและสตาร์ชผสมพรีเจลเป็นดังนี้

4.1 สมบัติของสตาร์ชผสม

4.1.1 องค์ประกอบทางเคมีของสตาร์ชข้าวและมันสำปะหลัง

จากการวิเคราะห์องค์ประกอบทางเคมี คือ ปริมาณโปรตีน ไขมัน เถ้า ความชื้นและปริมาณอะมิโลสของสตาร์ชดิบ 2 ชนิด คือ สตาร์ชมันสำปะหลังและสตาร์ชข้าวอะมิโลสสูง ได้ผลดังแสดงในตารางที่ 4.1

ตารางที่ 4.1 องค์ประกอบทางเคมีของสตาร์ชมันสำปะหลังและสตาร์ชข้าวอะมิโลสสูง

องค์ประกอบทางเคมี (เปอร์เซ็นต์โดยน้ำหนักแห้ง)	ชนิดสตาร์ช	
	มันสำปะหลัง	ข้าว
โปรตีน	0.27±0.00	1.33±0.00
ไขมัน	0.15±0.05	0.27±0.03
เถ้า	0.13±0.05	0.21±0.05
อะมิโลส	17.32±0.78	27.87±0.51
ความชื้น	10.94±0.67	10.53±0.78

ปริมาณโปรตีน ไขมัน เถ้า และความชื้นของสตาร์ชมันสำปะหลังมีค่า 0.27 0.15 0.13 และ 10.94 เปอร์เซ็นต์ตามลำดับขณะที่ของสตาร์ชข้าวมีค่า 1.33 0.27 0.21 และ 10.53 ตามลำดับ Srisoth *et al.* (1999) ได้รายงานค่าองค์ประกอบทางเคมีของสตาร์ชมันสำปะหลังไว้ดังนี้ คือ โปรตีน 0.1 เปอร์เซ็นต์ ไขมัน 0.1 เปอร์เซ็นต์ เถ้า 0.2 เปอร์เซ็นต์ และความชื้น 13 เปอร์เซ็นต์ ซึ่งปริมาณเถ้าและความชื้นจากการทดลองนี้อยู่ในช่วงเดียวกัน และ Charles *et al.* (2007) รายงานถึงองค์ประกอบทางเคมีของสตาร์ชมันสำปะหลังที่ได้จากมันสำปะหลังจากไร่ทางตอนใต้ของไต้หวันไว้ดังนี้คือปริมาณโปรตีน 0.09 เปอร์เซ็นต์ ไขมัน 0.15 เปอร์เซ็นต์ เถ้า 0.02 เปอร์เซ็นต์ คีนจันท์ (2552) ได้รายงานว่าสตาร์ชข้าวมีปริมาณโปรตีนอยู่ในช่วง 0.24 ถึง 0.56 เปอร์เซ็นต์ (โดยน้ำหนักเปียก) ไขมัน 0.46 ถึง 0.51 เปอร์เซ็นต์ (โดยน้ำหนักเปียก) และเถ้า 0.17 ถึง 0.21 เปอร์เซ็นต์ (โดยน้ำหนักเปียก) ซึ่งปริมาณเถ้าจากการทดลองนี้อยู่ในช่วงเดียวกัน

สำหรับปริมาณอะมิโลสพบว่าในสตาร์ชมันสำปะหลังและสตาร์ชข้าวอะมิโลสสูงมีปริมาณอะมิโลสอยู่ 17.32 และ 27.87 เปอร์เซ็นต์ตามลำดับ Singh *et al.* (2003) ได้รายงานว่าสตาร์ชข้าวมีปริมาณอะมิโลส 5-28.4 เปอร์เซ็นต์ ทั้งนี้ขึ้นอยู่กับพันธุ์ข้าว ส่วนสตาร์ชมันสำปะหลัง Tongdang *et al.* (2008)

พบว่าปริมาณอะมิโลส 17.7เปอร์เซ็นต์ของน้ำหนักตัวอย่างแห้ง ซึ่งปริมาณอะมิโลสในสตาร์ชมันสำปะหลัง และสตาร์ชข้าวอะมิโลสสูง จากการทดลองนี้ได้ผลที่อยู่ในช่วงเดียวกับบรรยายงานข้างต้น

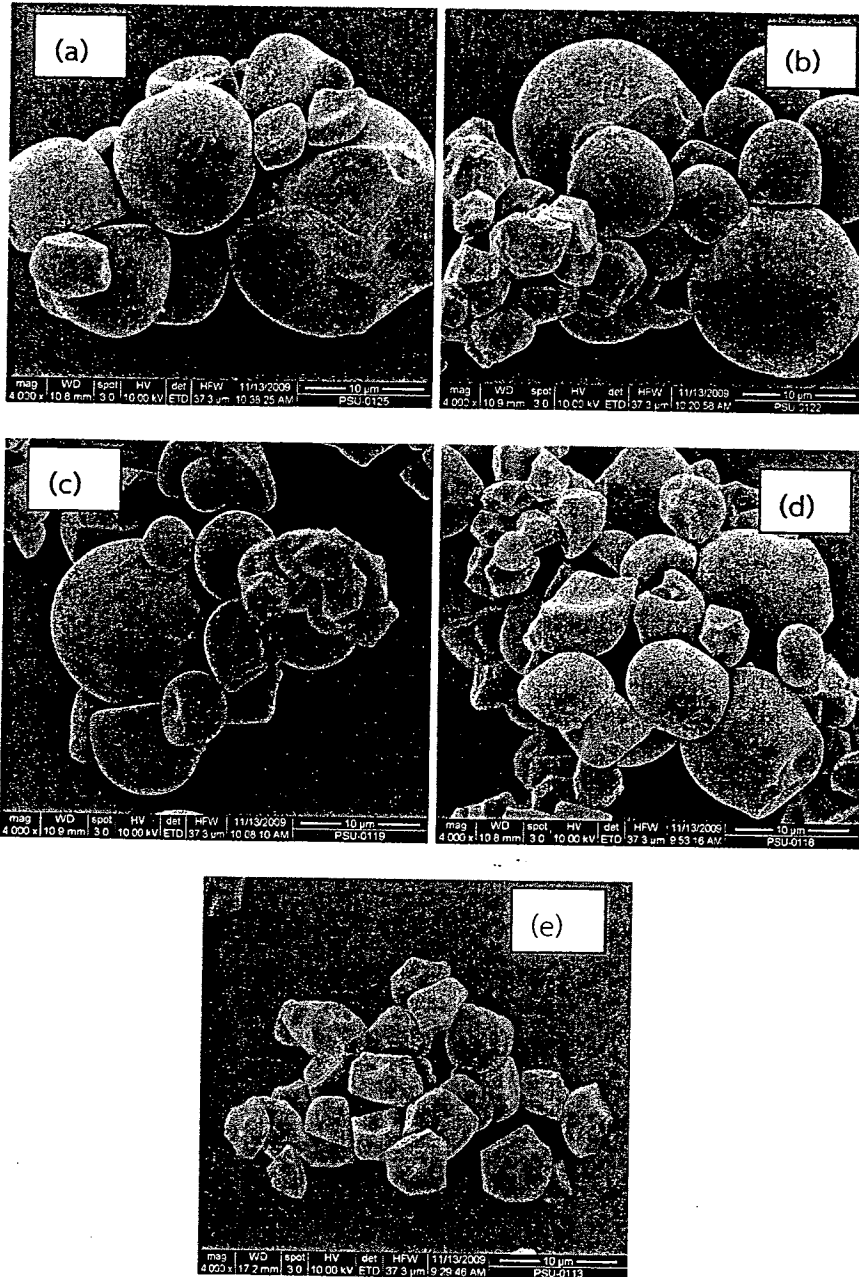
ในการศึกษานี้ไม่ได้วิเคราะห์ปริมาณอะมิโลสของสตาร์ชผสม แต่คำนวณตามสัดส่วนและปริมาณของสตาร์ชแต่ละชนิด ได้ผลตารางที่ 4.2 โดยปริมาณอะมิโลสของสตาร์ชผสมจะสูงขึ้นเมื่อสัดส่วนของสตาร์ชข้าวเพิ่มมากขึ้น

ตารางที่ 4.2 ปริมาณอะมิโลสของสตาร์ชผสมสัดส่วนต่างๆ

มันสำปะหลัง	ข้าว	ปริมาณอะมิโลส (เปอร์เซ็นต์)
100	0	17.32
90	10	18.38
80	20	19.43
70	30	20.49
60	40	21.54
50	50	22.60
40	60	23.65
30	70	24.71
20	80	25.76
10	90	26.82
0	100	27.87

4.1.2 รูปร่างและขนาดของเม็ดสตาร์ช

ลักษณะรูปร่างและลักษณะของเม็ดสตาร์ช แสดงดังรูปที่ 4.1 โดย สตาร์ชมันสำปะหลังมีรูปร่างกลม ขณะที่เม็ดสตาร์ชข้าวมีรูปร่างเป็นเหลี่ยม

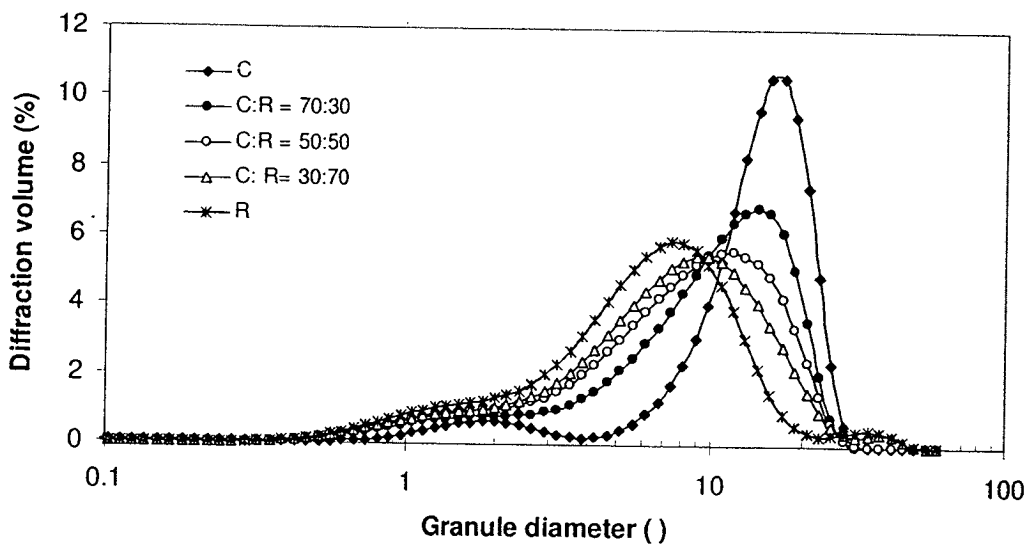


รูปที่ 4.1 SEM micrograph of starch granules (4000X)

C: R (a) = 100:0 (b) = 70:30 (c) = 50: 50 (d) = 30: 70 (e) = 0: 100

สตาร์ชข้าวมีขนาดเล็กกว่าสตาร์ชมันสำปะหลัง มีการกระจายตัวของขนาดเม็ดสตาร์ช (รูปที่ 4.2) โดยพบว่าขนาดเฉลี่ยของเม็ดสตาร์ชข้าว 7.72 ไมโครเมตร จากการศึกษาของ คินจันท์ (2552) พบว่าขนาดเฉลี่ยของเม็ดสตาร์ชข้าวพันธุ์เจียงพัทลุง อยู่ที่ 5.65 ไมโครเมตร สำหรับขนาดเฉลี่ยของเม็ดสตาร์ชมันสำปะหลังคือ 14.57 ไมโครเมตร ซึ่งสูงกว่าที่เคยรายงานก่อนหน้านี้เล็กน้อย (Tongdang *et al.*, 2008)

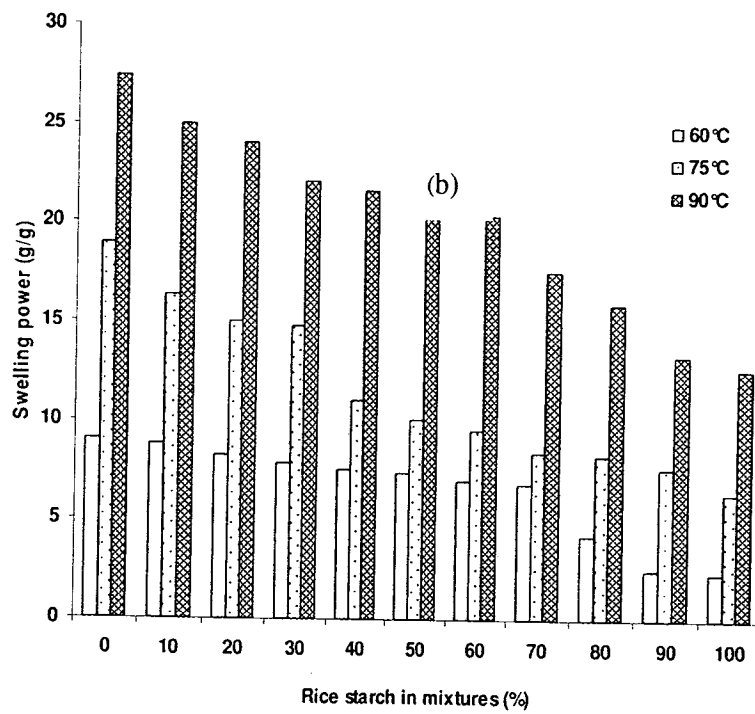
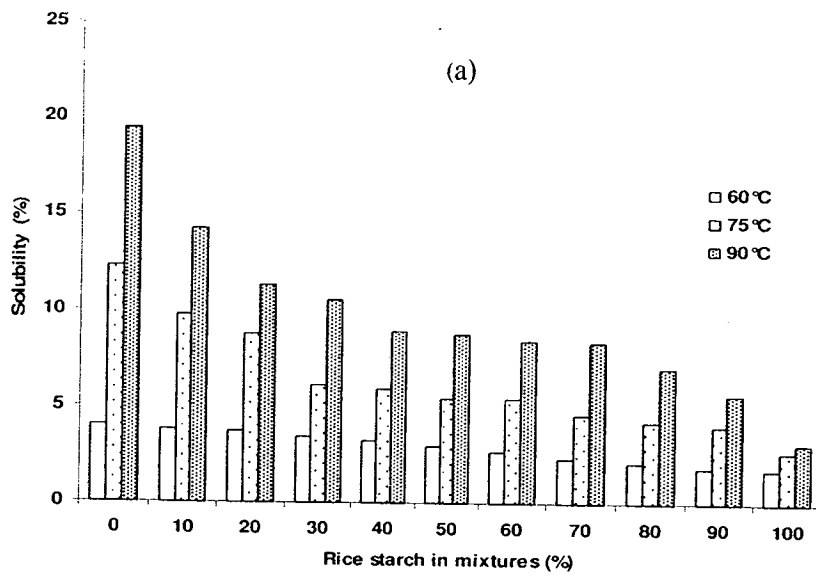
สำหรับสตาร์ชผสมระหว่างสตาร์ชข้าวและสตาร์ชมันสำปะหลัง พบว่าค่าเฉลี่ยของขนาดเม็ดสตาร์ชอยู่ระหว่างค่าเฉลี่ยของเม็ดสตาร์ชข้าวและสตาร์ชมันสำปะหลัง เช่น สัดส่วน สตาร์ชมันสำปะหลังต่อสตาร์ชข้าว 70: 30, 50: 50 และ 30: 70 ขนาดเม็ดสตาร์ชเฉลี่ย 10.08, 9.67 และ 9.24 ไมโครเมตร ตามลำดับ



รูปที่ 4.2 การกระจายตัวของเม็ดสตาร์ช มันสำปะหลัง (C) สตาร์ชข้าว (R) และสตาร์ชผสมสัดส่วน C:R = 70:30, 50: 50 และ 30: 70

4.1.2 กำลังการพองตัวและความสามารถในการละลาย

กำลังการพองตัวของสตาร์ชและสตาร์ชผสมเพิ่มขึ้นเมื่ออุณหภูมิเพิ่มขึ้น (60 75 90 C) แต่พบว่าสตาร์ชมันสำปะหลังมีกำลังการพองตัวและการละลายสูงกว่าของสตาร์ชข้าวในทุกอุณหภูมิที่ทดสอบ การให้ความร้อนแก่สตาร์ชในสถานะที่มีน้ำเพียงพอมีผลให้พันธะไฮโดรเจนเกิดการคลายตัว และเกิดการจับกับโมเลกุลของน้ำทำให้เกิดการพองตัวของเม็ดสตาร์ช รวมถึงอาจเกิดการละลายด้วย ขนาดของเม็ดสตาร์ช สัดส่วนของอะมิโลสและอะมิโลเพคติน รวมถึงความแข็งแรงของโครงสร้างมีผลอย่างมากต่อกำลังการพองตัวและการละลาย สตาร์ชข้าวมีขนาดเม็ดสตาร์ชเล็กกว่าสตาร์ชมันสำปะหลัง รวมทั้งมีโครงสร้างที่แข็งแรงกว่า (โดยสังเกตจากมีอุณหภูมิการเกิดเจลลาติไนเซชันที่สูงกว่า) สตาร์ชมันสำปะหลัง การพองตัวและการละลายจึงต่ำกว่า สำหรับสตาร์ชผสมพบว่าเมื่อปริมาณสตาร์ชข้าวเพิ่มขึ้นกำลังการพองตัวและการละลายลดลงอย่างมีนัยสำคัญ ($p < 0.05$) ทั้งนี้เนื่องจากสตาร์ชข้าวมีการจัดเรียงตัวของโมเลกุลที่แข็งแรงกว่า (โดยสังเกตจากมีอุณหภูมิการเกิดเจลลาติไนเซชันที่สูงกว่า) และมีขนาดเม็ดสตาร์ชเล็กกว่าสตาร์ชมันสำปะหลัง ทำให้สามารถดูดซับน้ำและการขยายตัวของเม็ดสตาร์ชน้อยกว่าสตาร์ชมันสำปะหลัง เมื่อสัดส่วนสตาร์ชข้าวเพิ่มขึ้นค่าดังกล่าวลดลง หากพิจารณาที่อุณหภูมิ 90 องศาเซลเซียส ซึ่งเป็นอุณหภูมิที่มีค่าการพองตัวสูงสุด พบว่าสตาร์ชผสมที่สัดส่วน (C: R = 70:30 ถึง 40:60) มีค่าใกล้เคียงกัน



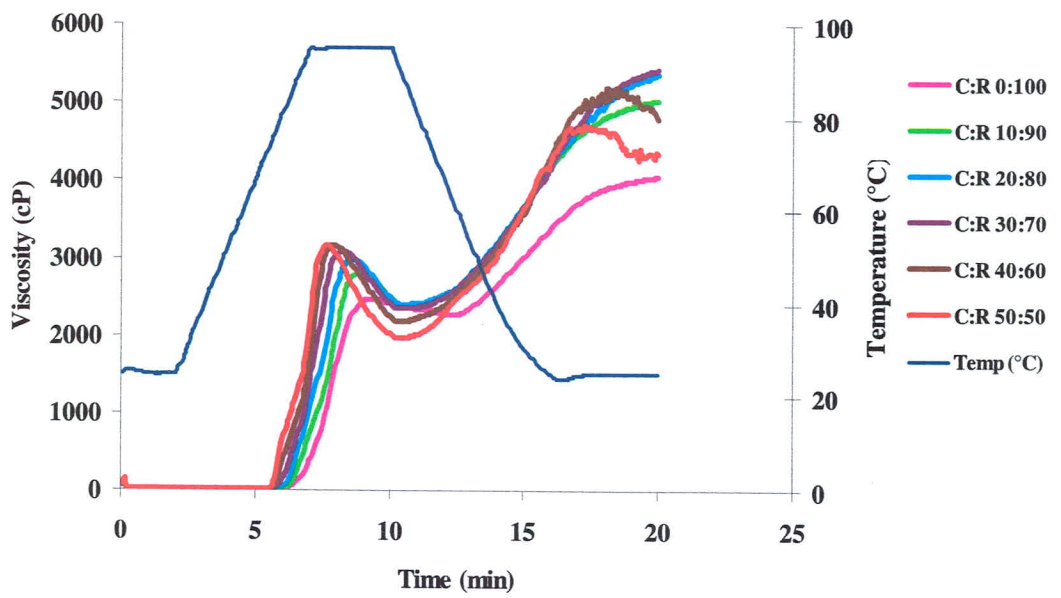
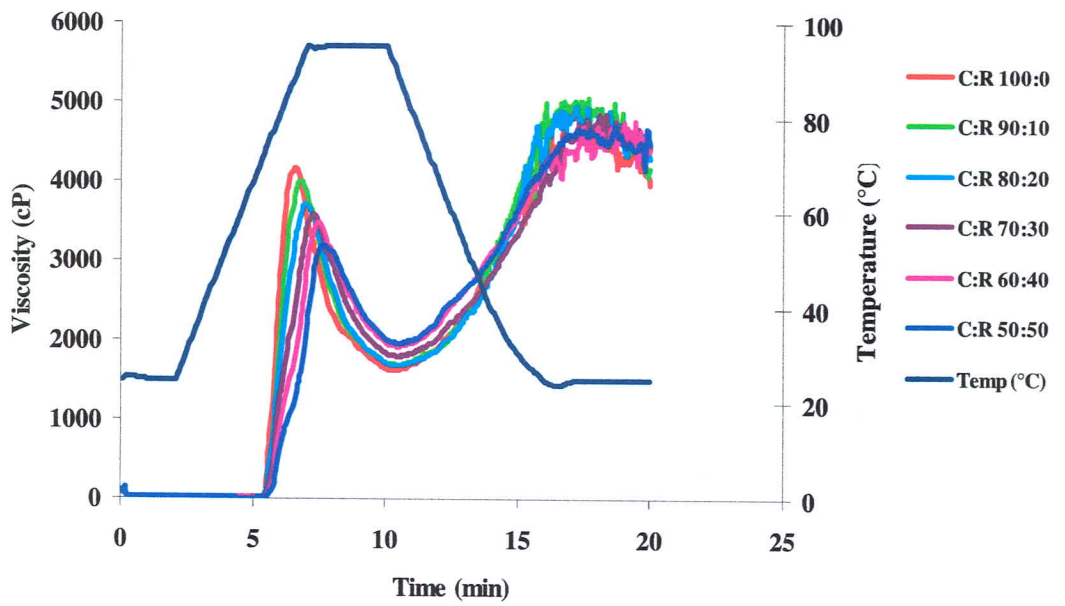
รูปที่ 4.3 ความสามารถในการละลาย (a) และค่ากำลังการพองตัว (b) ของสตาร์ชผสมที่อุณหภูมิ 60 75 และ 90 องศาเซลเซียส

4.1.3 สมบัติการเกิดสตาร์ชเปี้ยก (pasting properties)

สมบัติการเกิดสตาร์ชเปี้ยก (ระหว่างการทำความร้อนแก่น้ำสตาร์ช) ส่งผลต่อการเปลี่ยนแปลงความหนืด ผลการศึกษาพบว่าลักษณะโปรไฟล์จาก RVA ของสตาร์ชผสมระหว่างสตาร์ชมันสำปะหลังและสตาร์ชข้าวดังรูปที่ 4.4 และตารางที่ 4.3 โดยพบว่า ความหนืดสูงสุด (peak viscosity) ของสตาร์ชมันสำปะหลังมีค่าสูงที่สุดและลดลงตามสัดส่วนของสตาร์ชข้าวที่เพิ่มขึ้น กล่าวคือความหนืดสูงสุดมีความสัมพันธ์เชิงลบกับปริมาณสตาร์ชข้าวในสตาร์ชผสม ($y = -15.15x + 4052.1$, $R^2 = 0.9742$ เมื่อ y คือ ความหนืดสูงสุด และ x คือปริมาณสตาร์ชข้าวในสตาร์ชผสม) อย่างไรก็ตามสมการนี้ อาจมีความจำเพาะกับชนิดของข้าว (สำหรับการศึกษาเป็นสตาร์ชข้าวที่มีปริมาณอะมิโลส 27.78 เปอร์เซ็นต์)

สำหรับความหนืดต่ำสุด (through viscosity) ซึ่งเป็นความหนืดที่บ่งชี้ถึงความเสถียร หรือความทนต่อการกวนของเม็ดสตาร์ช พบว่าการเปลี่ยนแปลงเป็นไปในทางตรงข้ามกับความหนืดสูงสุด คือมีค่าเพิ่มขึ้นเมื่อปริมาณสตาร์ชข้าวในสตาร์ชผสมเพิ่มขึ้นกล่าวคือมีความสัมพันธ์ในเชิงบวกแบบเส้นตรง ($y = 8.7644x + 1568.7$, $R^2 = 0.906$ เมื่อ y คือความหนืดต่ำสุด และ x คือปริมาณสตาร์ชข้าวในสตาร์ชผสม) ทั้งนี้เนื่องจากสตาร์ชข้าวมีโครงสร้างของเม็ดสตาร์ชที่แข็งแรงและมีขนาดเม็ดสตาร์ชเล็กกว่าเม็ดสตาร์ชมันสำปะหลัง การแตกหักเนื่องจากแรงเฉือน (การกวนของใบพัด) น้อยกว่าความหนืดจึงไม่ลดลง ทั้งนี้จะเห็นได้ชัดเจนว่าความหนืดต่ำสุดของสตาร์ชมันสำปะหลังมีค่าต่ำกว่าของสตาร์ชข้าว

ความหนืดสุดท้าย (final viscosity, fv) ที่บ่งชี้ถึงความสามารถในการจัดเรียงตัวของสายโมเลกุลหลังจากผ่านการเกิดเจลลาคีโนเซชัน หรือการเกิดรีโทรเกรดเซชัน จากผลการทดลองพบว่าความหนืดสุดท้ายของสตาร์ชมันสำปะหลัง ใกล้เคียงกับสตาร์ชข้าว (ประมาณ 4000 เซ็นติพ้อยท์) แต่สำหรับสตาร์ชผสมของ 2 ชนิดนี้พบว่า ค่าดังกล่าวสูงกว่าสตาร์ชเดี่ยว โดยความหนืดสุดท้ายของสตาร์ชผสมเพิ่มขึ้นเมื่อปริมาณสตาร์ชข้าวสูงขึ้น นอกจากนี้พบว่าสตาร์ชผสมที่มีปริมาณสตาร์ชมันสำปะหลังในระดับ 10-30 เปอร์เซ็นต์ และ สตาร์ชข้าว 90-70เปอร์เซ็นต์ ความหนืดสุดท้ายเพิ่มสูงขึ้นอย่างมาก (มากกว่าสตาร์ชเดี่ยว ≥ 1000 เซ็นติพ้อยท์) ความหนืดสุดท้ายบ่งชี้ถึงความแข็งแรงของเจลอันเนื่องจากการเกิดรีโทรเกรดเซชันของสตาร์ช หากปริมาณอะมิโลสของสตาร์ชสูง ความหนืดสุดท้ายน่าจะสูงตามไปด้วย ในการทดลองนี้สตาร์ชข้าวมีปริมาณอะมิโลสสูงกว่าสตาร์ชผสมแต่ความหนืดสุดท้ายต่ำกว่า ปรากฏการณ์ที่เกิดขึ้นจึงน่าจะมีอิทธิพลของการจัดเรียงของเม็ดสตาร์ชที่ขนาดต่างกันของสตาร์ชผสมสองชนิด มากกว่าอิทธิพลของปริมาณอะมิโลส กล่าวคือเม็ดสตาร์ชข้าวที่มีขนาดเล็กกว่าจะแทรกอยู่ในช่องว่างระหว่างเม็ดสตาร์ชมันสำปะหลังที่มีขนาดใหญ่กว่า ทำให้มีความหนาแน่น (packing density) ที่สูงกว่า การพองตัวของสตาร์ชทั้งสองชนิดในกระบวนการเจลลาคีโนเซชันแตกต่างกันกล่าวคือ มันสำปะหลังน่าจะพองตัวและขยายขนาดได้มากกว่า หลังการอุณหภูมิจึง โครงสร้างเจลแบ่งผสมน่าจะมีความหนาแน่นและแข็งแรงกว่า ส่งผลให้ความหนืดสุดท้ายสูงกว่า แบ่งเดี่ยวๆ



รูปที่ 4.4 ลักษณะรูปแบบการเปลี่ยนแปลงความหนืดของสตาร์ชผสมระหว่างสตาร์ชมันสำปะหลัง (C) และสตาร์ชข้าว (R)

ตารางที่ 4.3 ค่าความหนืดของสตาร์ชผสมในระหว่างการเกิดเฟสที่วัดด้วยเครื่อง RVA

C: R	Viscosity (cP)					Peak Time (min)
	Hot Peak	Trough	Breakdown	Final	Setback	
100:0	4141 ^j ±25	1611 ^a ±19	2531 ^k ±6	4084 ^{ab} ±6	2474 ^b ±112	6.53 ^a ±0.00
90:10	3945 ⁱ ±44	1651 ^{ab} ±32	2295 ^j ±12	4228 ^{bc} ±50	2577 ^{bc} ±259	6.77 ^b ±0.08
80:20	3692 ^h ±25	1684 ^b ±1	2009 ^j ±26	4317 ^c ±176	2633 ^{bc} ±74	7.00±0.00 ^c
70:30	3554 ^g ±57	1775 ^c ±20	1779 ^h ±28	4480 ^d ±143	2705 ^{cd} ±137	7.27 ^d ±0.00
60:40	3421 ^f ±58	1876 ^d ±43	1546 ^g ±17	4398 ^c ±4	2522 ^{bc} ±88	7.27 ^e ±0.00
50:50	3160 ^e ±30	1964 ^e ±3	1196 ^f ±33	4428 ^c ±78	2465 ^{bc} ±79	7.69 ^f ±0.03
40:60	3105 ^{de} ±68	2176 ^f ±6	929 ^e ±74	4743 ^e ±155	2566 ^{bc} ±60	7.91 ^g ±0.03
30:70	3038 ^d ±46	2315 ^g ±27	723 ^d ±27	5389 ^g ±39	3074 ^c ±82	8.25 ^h ±0.04
20:80	2933 ^c ±37	2375 ^h ±24	558 ^c ±13	5293 ^g ±85	2918 ^{de} ±64	8.62 ⁱ ±0.04
10:90	2804 ^b ±12	2500 ⁱ ±28	403 ^b ±36	5009 ^f ±64	2610 ^{bc} ±18	8.95 ^j ±0.04
0:100	2447 ^a ±21	2249 ^j ±13	198 ^a ±8	3964 ^a ±70	1714 ^a ±150	9.31 ^k ±0.07

Mean value±standard deviation of triplicates.

Mean value in the same column with different letter are significantly different ($p < 0.05$)

4.1.4 อุณหภูมิการเกิดเจลลาตินในเซชัน

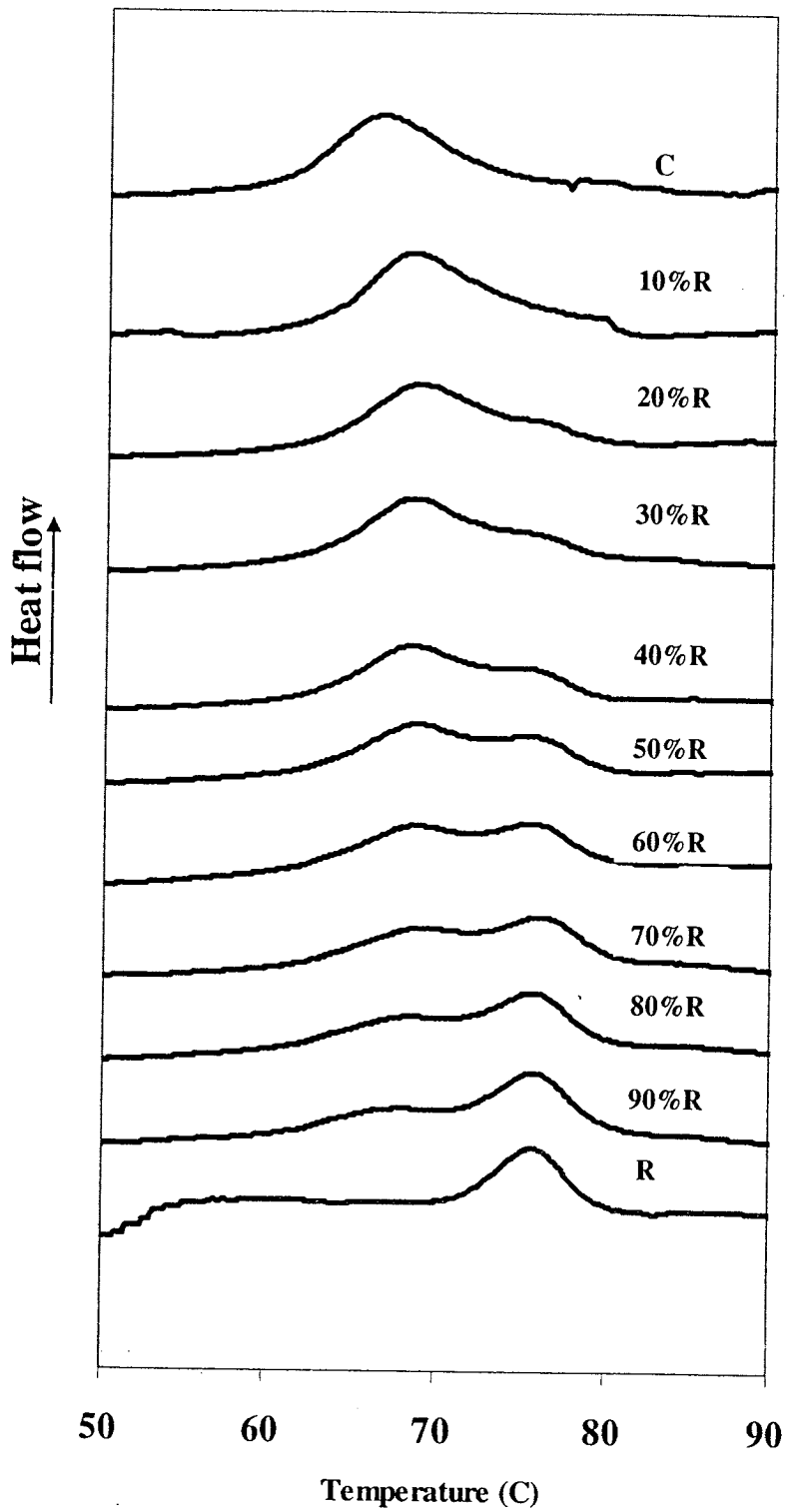
ลักษณะของโปรไฟล์ของการเกิดเจลลาตินซ์ของการเกิดเจลลาตินในเซชันของสตาร์ชมันสำปะหลัง และสตาร์ชข้าวเกิดฟัค (แสดงการเปลี่ยนแปลงความร้อน ดังรูปที่ 4.5) เพียงฟัคเดียวขณะที่ของสตาร์ชผสมจะปรากฏสองฟัค โดยที่ขนาดของฟัคที่สองจะเห็นชัดเจนขึ้นเมื่อปริมาณสตาร์ชข้าวเพิ่มขึ้น ดังนั้น T_p ในสตาร์ชผสมจะมี 2 ค่า ดังตารางที่ 4.4 ช่วงอุณหภูมิการเกิดเจลลาตินในเซชันของสตาร์ชมันสำปะหลังต่ำ (62-73 องศาเซลเซียส) และแคบกว่าของสตาร์ชข้าว (70-80 องศาเซลเซียส) ขณะที่อุณหภูมิการเกิดเจลลาตินในเซชันของสตาร์ชผสมจะครอบคลุมช่วงอุณหภูมิของสตาร์ชทั้ง 2 ชนิด และพบว่าฟัคที่แสดงอุณหภูมิสูงสุด 2 ค่า โดยค่า T_{p1} และ T_{p2} ของสตาร์ชผสมมีค่าใกล้เคียงกับ T_{p1} ของสตาร์ชมันสำปะหลัง และสตาร์ชข้าวตามลำดับ ผลการศึกษานี้ สอดคล้องกับ รายงานของ Ortega-Ojeda and Eliasson (2001) ที่พบว่าอุณหภูมิสูงสุดของการเกิดเจลลาตินในเซชันของสตาร์ชผสม จะเป็นการแสดงออกของสตาร์ชทั้ง สองชนิดซึ่งไม่มีการเกิดปฏิกริยาระหว่างกัน

ตารางที่ 4.4 อุณหภูมิและค่าพลังงานการเกิดเจลลาตินในเซชัน ของสตาร์ชผสมระหว่างสตาร์ชมันสำปะหลัง (C) และสตาร์ชข้าว (R)

C:R	T_o	T_{p1}	T_{p2}	T_c	ΔH
100:0	61.85 ^a ±0.12	66.41 ^a ±0.12	-	73.33 ^a ±0.14	12.12±0.11
90:10	62.58 ^c ±0.05	68.83 ^b ±0.00	-	76.09 ^b ±0.02	13.30±0.55
80:20	62.40 ^c ±0.01	68.83 ^b ±0.00	74.00 ^a ±0.00	76.43 ^b ±0.12	13.11±0.14
70:30	62.88 ^{bc} ±0.29	68.58 ^b ±0.35	76.33 ^c ±0.47	80.06 ^c ±0.62	13.42±0.58
60:40	62.84 ^{bc} ±0.21	68.91 ^b ±0.35	76.41 ^c ±0.12	80.04 ^c ±0.21	12.65±0.17
50:50	63.12 ^b ±0.22	69.08 ^{bc} ±0.11	75.74 ^b ±0.12	80.32 ^c ±0.00	12.54±0.22
40:60	62.91 ^b ±0.91	69.16 ^{bc} ±0.23	75.49 ^b ±0.47	80.21 ^c ±0.01	12.45±1.97
30:70	62.18 ^b ±0.01	69.50 ^{bc} ±0.00	76.00 ^{bc} ±0.00	80.32 ^c ±0.05	11.55±0.02
20:80	62.43 ^{ab} ±0.69	69.41 ^{bc} ±0.34	76.08 ^{bc} ±0.11	80.29 ^c ±0.17	11.17±1.91
10:90	62.78 ^a ±0.47	68.50 ^b ±0.00	75.99 ^b ±0.23	80.14 ^c ±0.26	12.50±1.10
0:100	70.54 ^{ab} ±0.09	76.16 ^c ±0.00	-	80.22 ^c ±0.02	10.68±0.07

Mean value±standard deviation of triplicates.

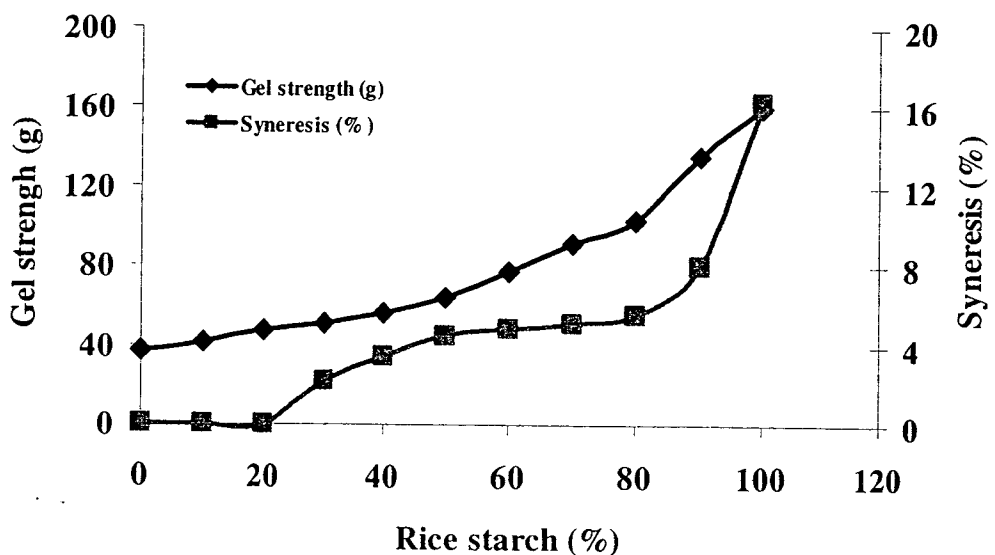
Mean value in the same column with different letter are significantly different ($p < 0.05$)



รูปที่ 4.5 ลักษณะเทอร์โมแกรมของการเกิดเจลลาติไนซ์ของสตาร์ไขมันสำปะหลัง (C) สตาร์ข้าว (R) และสตาร์ผสมของสตาร์ทั้งสองชนิดนี้ที่มีปริมาณสตาร์ข้าวในระดับต่างๆ จากการทดสอบด้วยเครื่อง DSC

4.1.5 ความแข็งแรงของเจลและการขับน้ำออกจากเจล

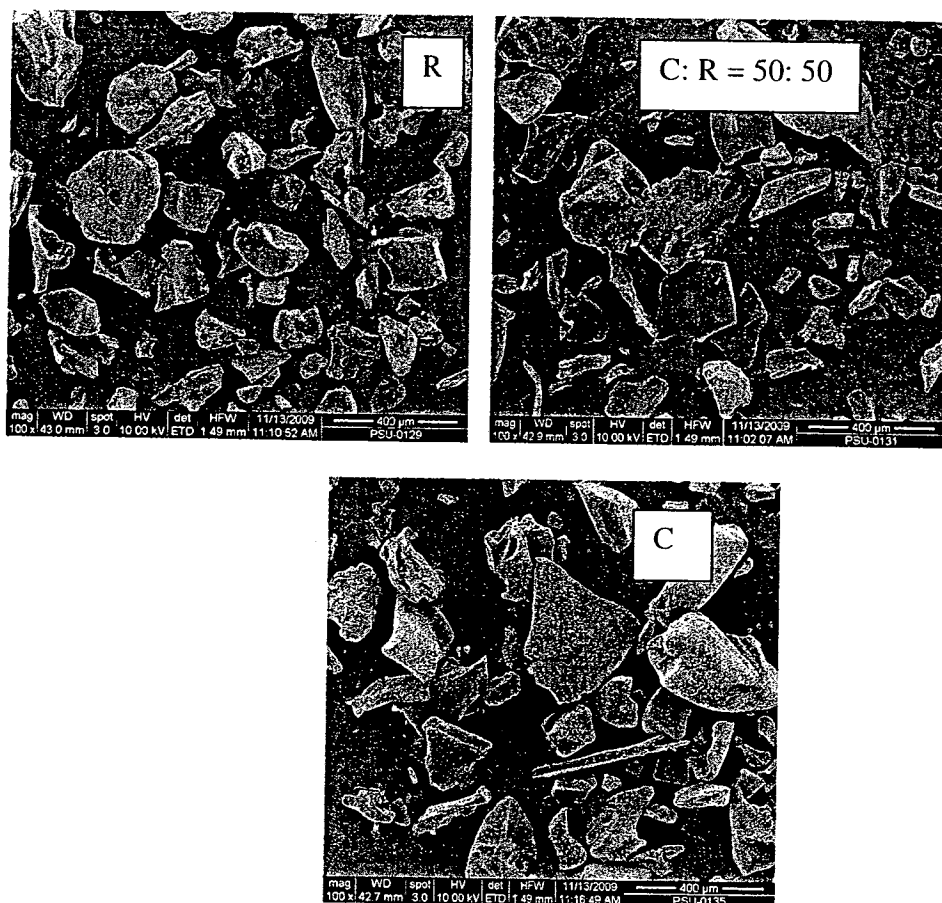
สตาร์ชมันสำปะหลังมีความแข็งแรงของเจลและค่าการขับน้ำออกจากเจลต่ำกว่าสตาร์ชข้าว ค่าตั้งกล่าวของสตาร์ชผสมก็มีค่าต่ำกว่าของสตาร์ชข้าว ความแข็งแรงของเจลและการขับน้ำออกจากเจลสูงขึ้นเมื่อปริมาณสตาร์ชข้าวในสตาร์ชผสมสูงขึ้น (หรือมีค่าลดลงเมื่อปริมาณสตาร์ชมันสำปะหลังในสตาร์ชผสมเพิ่มสูงขึ้น) ดังแสดงในรูปที่ 4.6 โดยพบว่าในสตาร์ชผสมที่มีสตาร์ชมันสำปะหลัง 10-20 เปอร์เซ็นต์ และมีสตาร์ชข้าว 90-80 เปอร์เซ็นต์ มีการเกิดการขับน้ำออกจากเจลต่ำมาก และไม่ต่างไปจากสตาร์ชมันสำปะหลังแต่มีความแข็งแรงของเจลสูงกว่า จากผลการศึกษาที่ได้นี้น่าจะเกิดประโยชน์ในการประยุกต์ใช้สตาร์ชผสมดังกล่าว กล่าวคือในระบบอาหารที่ต้องการเจลที่มีความหนืดสูงแต่มีการขับน้ำออกจากเจลดน้อย



รูปที่ 4.6 ผลของปริมาณสตาร์ชข้าวในสตาร์ชผสมต่อความแข็งแรงของเจลและการขับน้ำออกจากเจลของสตาร์ชผสมระหว่างสตาร์ชมันสำปะหลัง (C) และสตาร์ชข้าว (R)

4.2 สตาร์ชผสมพรีเจล

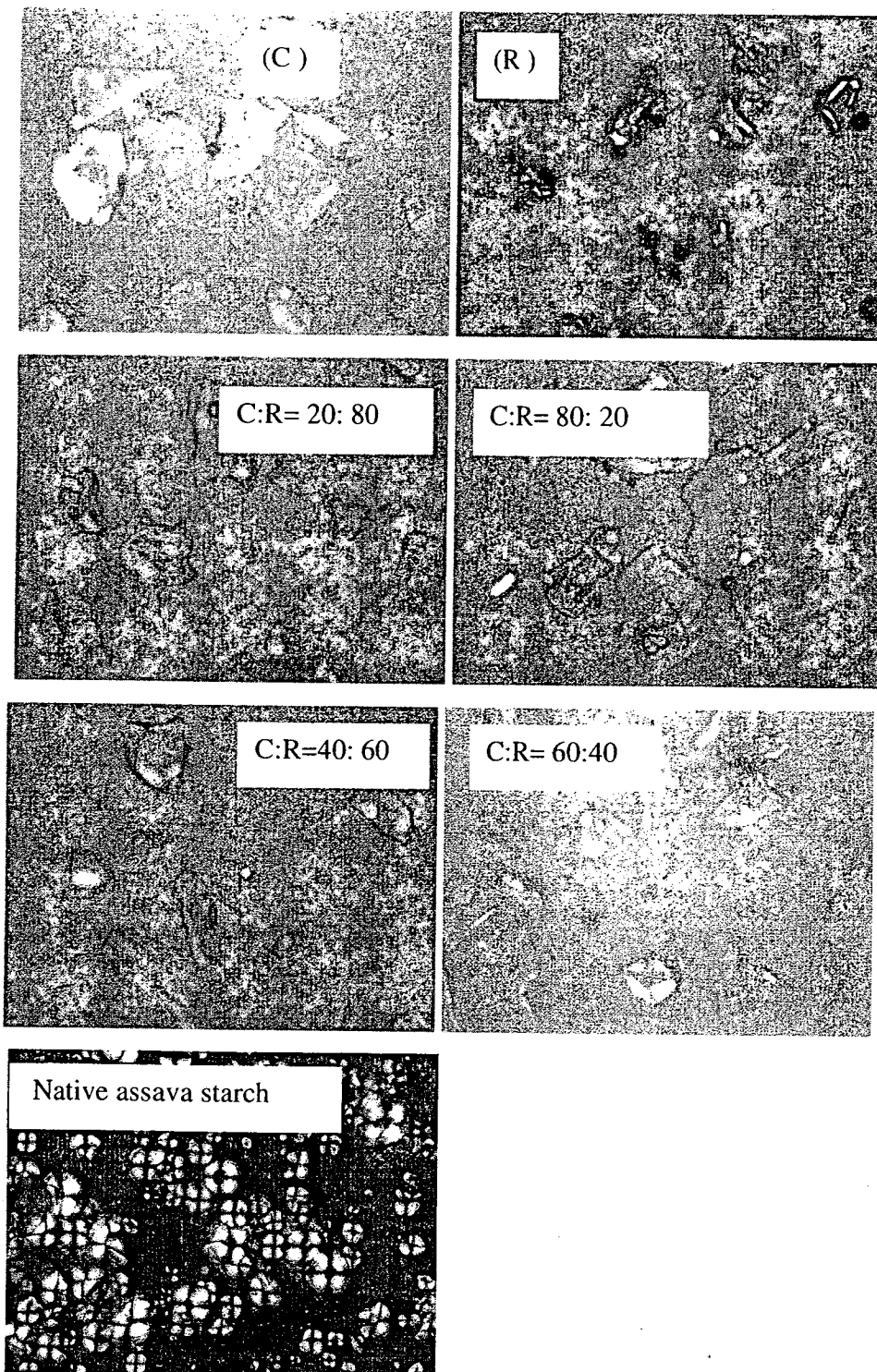
สตาร์ชผสมระหว่างสตาร์ชมันสำปะหลังและสตาร์ชข้าวผ่านกระบวนการพรีเจลาตไนซ์ โดยใช้เครื่องทำแห้งแบบลูกกลิ้งคู่ เปรียบเทียบกับสตาร์ชข้าวและสตาร์ชมันสำปะหลัง ตัวอย่างที่ได้ผ่านการบดและร่อนผ่านตะแกรง นำตัวอย่างที่อยู่ในช่วง 150-450 ไมโครเมตร วิเคราะห์สมบัติต่างๆ ลักษณะของสตาร์ชพรีเจลภายใต้กล้องจุลทรรศน์อิเล็กตรอนแบบส่องกราด ดังรูปที่ 4.7



รูปที่ 4.7 ลักษณะสตาร์ชพรีเจลที่ถ่ายด้วยกล้อง SEM สตาร์ชมันสำปะหลังพรีเจล (C) สตาร์ชข้าวพรีเจล (R) และสตาร์ชผสม C:R: 50: 50

4.2.1 การสูญเสียความเป็นผลึกของสตาร์ชผสมพรีเจล

โดยทั่วไปแล้วเม็ดสตาร์ชมีโครงสร้างเป็นแบบกึ่งผลึก (semi-crystalline) ซึ่งสามารถตรวจสอบความเป็นผลึกของสตาร์ชได้โดยการตรวจการเบี่ยงเบนระนาบแสงโพลาไรซ์ภายใต้กล้องจุลทรรศน์ ซึ่งจะมองเห็นลักษณะมอลติสครอสหรือลักษณะคล้ายกากบาทดังแสดงในรูปที่ 4.8 โดยบริเวณสว่างคือส่วนที่เป็นผลึก ขณะที่บริเวณสีทึบคือส่วนที่เป็นอสัณฐาน



รูปที่ 4.8 ลักษณะของสตาร์ชพรีเจลาภายใต้กล้องจุลทรรศน์แบบแสงโพลาไรซ์ บ่งชี้ถึงการสูญเสียโครงสร้างผลึกของสตาร์ช (C สตาร์ชมันสำปะหลัง; R สตาร์ชข้าว)

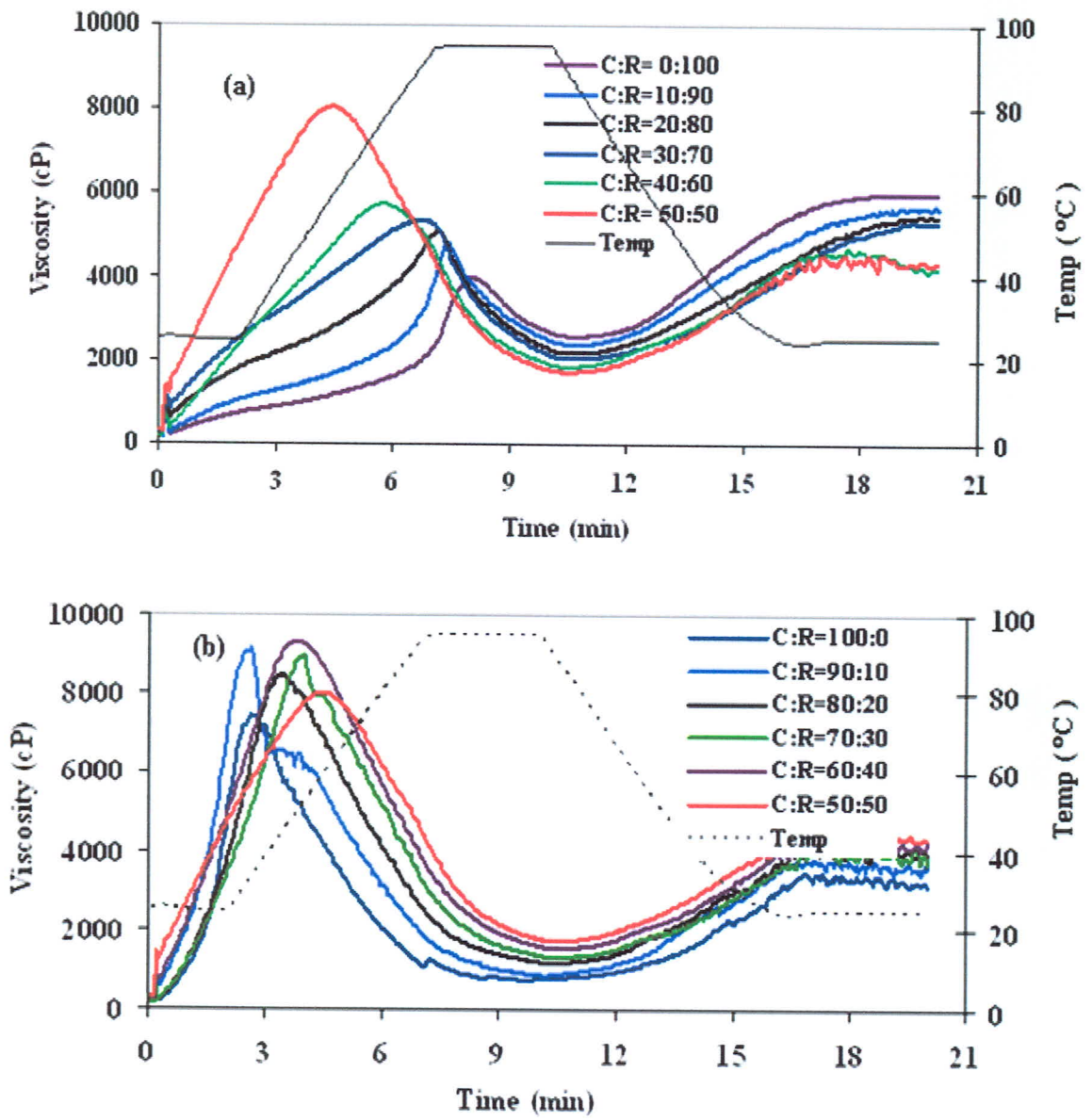
4.2.2 การเปลี่ยนแปลงความหนืด

การเปลี่ยนแปลงความหนืดของสตาร์ชผสมพรีเจลที่ทดสอบด้วยเครื่อง RVA (จากอุณหภูมิ 25 องศาเซลเซียส จนถึงอุณหภูมิ 95 องศาเซลเซียส และลดลงเป็น 25 องศาเซลเซียส) แสดงในรูปที่ 4.9 ค่าต่างๆที่ได้แสดงในตารางที่ 4.5 จากผลการทดสอบพบว่าสตาร์ชผสมในสัดส่วนต่างกันมีโปรไฟล์ของการเปลี่ยนแปลงความหนืดที่ต่างกัน (รูปที่ 4.9) จากโปรไฟล์ เมื่อพิจารณาจากพีคของความหนืด จะเห็นว่าสตาร์ชผสมที่สัดส่วนสตาร์ชข้าว 60-100 เปอร์เซ็นต์ (พิจารณาจากจุดสูงสุด) จะต่ำกว่าสัดส่วน 50: 50 และ สตาร์ชผสมที่สัดส่วนสตาร์ชมันสำปะหลัง 60-90 เปอร์เซ็นต์ (พิจารณาจากจุดสูงสุด) สูงกว่าจะต่ำกว่าสัดส่วน 50: 50 และสตาร์ชมันสำปะหลัง (100 เปอร์เซ็นต์) พรีเจล ค่าความหนืดต่างๆ แสดงตาราง ที่ 4.5

ความหนืดที่อุณหภูมิต่ำ (Cold peak viscosity, CPV) เป็นค่าความหนืดสูงสุดที่เกิดขึ้นในระยะเวลา 0-2.33 นาทีแรกของการทดสอบ (ซึ่งอยู่ในช่วงอุณหภูมิ 25 องศาเซลเซียส) เป็นความหนืดที่บ่งชี้ถึงความสามารถของการจับกับน้ำของสตาร์ชพรีเจลลาดิโนซ์ที่อุณหภูมิต่ำ (Whalen *et al.*, 1997) ซึ่งเป็นสมบัติที่สำคัญของสตาร์ชพรีเจลที่ต่างจากสตาร์ชดิบ และนำไปใช้ประโยชน์กับกลุ่มผลิตภัณฑ์ต่างๆที่ไม่ต้องผ่านการให้ความร้อน

จากการศึกษาพบว่าสัดส่วนของสตาร์ชผสมมีผลต่อค่า CPV อย่างมีนัยสำคัญ ($p < 0.05$) โดยสตาร์ชข้าวพรี-เจล มีค่า PV 720 เซ็นติพอยต์ ซึ่งต่ำกว่าค่าของสตาร์ชมันสำปะหลังพรี-เจล (4314 เซ็นติพอยต์) และเมื่อปริมาณสตาร์ชข้าวในสตาร์ชผสมเพิ่มขึ้นเป็น 10-20 เปอร์เซ็นต์ มีผลให้ค่าองศาเซลเซียส ค่า CPV เพิ่มขึ้นสูงสุดคือมีค่า 8473-8118 เซ็นติพอยต์ และค่า CPV ลดลงเมื่อปริมาณสตาร์ชข้าวในสตาร์ชผสมเพิ่มขึ้นสูงกว่าปริมาณนี้ อย่างไรก็ตามค่ายังคงสูงกว่าค่าของสตาร์ชข้าวพรีเจลเดี่ยว อาจอธิบายได้ว่าในสตาร์ชผสมที่มีสัดส่วนของสตาร์ชข้าวน้อย (10-20 เปอร์เซ็นต์) สตาร์ชข้าวทำหน้าที่เสมือนเป็นสารตัวเติม และส่งเสริมให้ความหนืดที่อุณหภูมิต่ำสูงกว่าสตาร์ชข้าวพรีเจล และสตาร์ชมันสำปะหลังพรีเจลเดี่ยวๆ อีกทั้งสามารถดูดซับน้ำและความหนืดสูงขึ้นอย่างรวดเร็วภายในระยะเวลาเพียงประมาณ 3 นาที (สังเกตจากค่า peak time)

ในขั้นตอนการผลิตสตาร์ชพรีเจลที่ให้ความร้อนที่อุณหภูมิผิวหน้าลูกกลิ้ง 110 องศาเซลเซียส) สตาร์ชมันสำปะหลังน่าจะเกิดการเจลาติโนเซชันได้ง่ายกว่าสตาร์ชข้าว เนื่องจากมีอุณหภูมิการเกิดเจลาติโนซ์ที่ต่ำกว่า (62 องศาเซลเซียส) สตาร์ชข้าว (70 องศาเซลเซียส) ประกอบกับมีปริมาณอะมิโลเพคตินสูงกว่าสตาร์ชข้าว จึงน่าจะมีระดับการเกิดเจลาติโนเซชันและการถูกทำลายสูงกว่าสตาร์ชข้าวเมื่อสตาร์ชผ่านกระบวนการตัดแปรทางกายภาพ เช่นกระบวนการใช้ความร้อนระดับอุณหภูมิเจลาติโนเซชันหรือกระบวนการเอ็กซ์ทรูชัน ส่วนของโมเลกุลอะมิโลเพคตินในสตาร์ชจะถูกทำลายหรือ เกิดการแตกหักง่ายกว่าโมเลกุลของอะมิโลส ส่งผลต่อสมบัติต่างๆของสตาร์ชตัดแปรที่ได้ เช่นความหนืดระหว่างการเกิดเพสต์ และการดูดซับและการละลายที่อุณหภูมิต่ำ (Tongdang, 2001)



รูปที่ 4.9 การเปลี่ยนแปลงความหนืดของสตาร์ซผสมพรีเจลระหว่างสตาร์ซมันสำปะหลัง (C) และ สตาร์ซข้าวอะมิโลสสูง (R) ในสัดส่วนต่างๆ

ตารางที่ 4.5 สมบัติทางด้านความหนืดของสตาร์ชผสมพรีเจลระหว่างสตาร์ชมันสำปะหลัง (C) และสตาร์ชข้าวอะมิโลส (R)

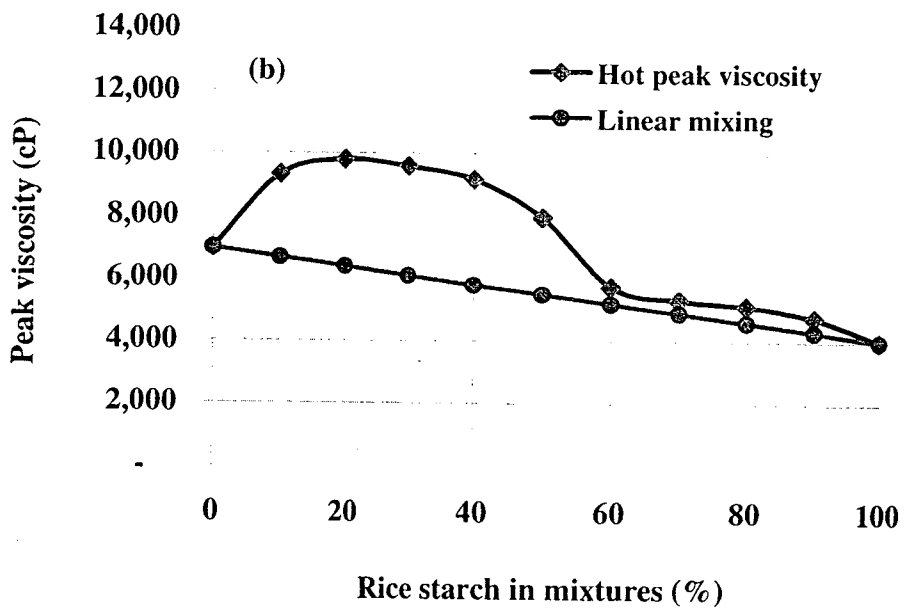
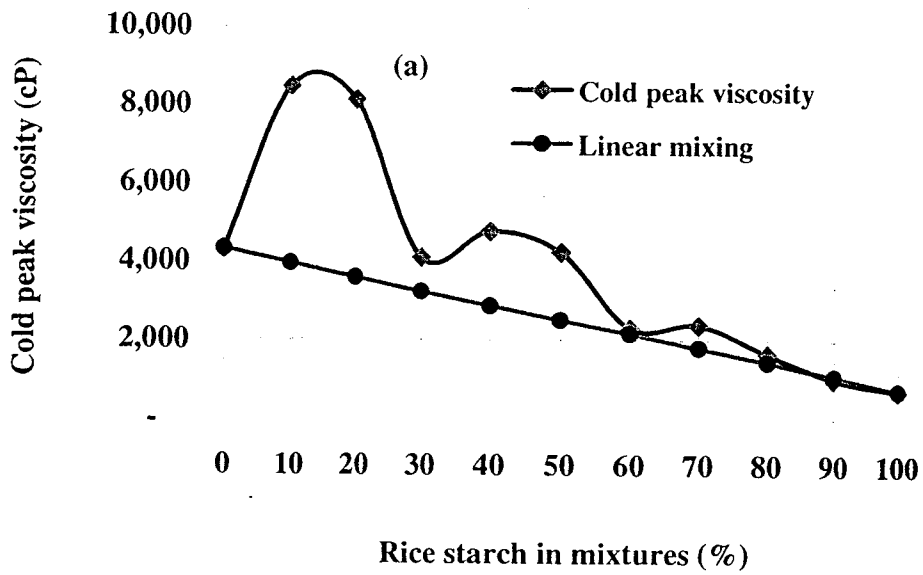
C: R	Viscosity (cP)						Peak Time (min)	Pasting Temp (°C)
	Cold Peak	Hot Peak	Trough	Breakdown	Final	Setback		
100:0	4314 ^d ±1388	6956 ^e ±748	774 ^a ±26	6182 ^e ±744	3097 ^a ±145	2323 ^a ±153	2.82 ^b ±0.44	25.03 ^{ns}
90:10	8473 ^e ±332	9308 ^h ±130	852 ^b ±26	8457 ^h ±106	3679 ^b ±67	2828 ^d ±68	2.38 ^a ±0.14	25.00 ^{ns}
80:20	8118 ^d ±117	9792 ^h ±59	960 ^c ±19	8832 ^s ±46	3968 ^c ±139	3008 ^d ±127	2.65 ^c ±0.04 ^c	25.07 ^{ns}
70:30	4100 ^d ±220	9572 ^h ±170	1296 ^d ±3	8276 ^s ±168	3808 ^b ±159	2511 ^{bc} ±159	3.84 ^d ±0.10 ^d	25.03 ^{ab}
60:40	4774 ^d ±243	9164 ^s ±257	1543 ^e ±7	7621±259 ^f	4081 ^c ±180	2538 ^{bc} ±187	3.82 ^d ±0.10	25.00 ^{ns}
50:50	4246 ^d ±376	7954 ^f ±69	1731 ^f ±5	6222 ^e ±69	4344 ^e ±7	2613 ^c ±13	4.56 ^e ±0.08	25.03 ^{ns}
40:60	2305 ^c ±260	5727 ^d ±31	1862 ^s ±10	3865 ^d ±21	4229 ^{de} ±9	2367 ^{ab} ±14	5.73 ^f ±0.07	25.00 ^{ns}
30:70	2386 ^c ±204	5293 ^c ±37	2040 ^h ±30	3253 ^c ±40	5243±54 ^f	3203 ^e ±36	6.71 ^g ±0.04	25.03 ^{ns}
20:80	1659 ^{bc} ±99	5114 ^{bc} ±27	2197 ⁱ ±12	2917 ^c ±37	5515 ^s ±69	3318 ^e ±76	7.18 ^h ±0.04	25.00 ^{ns}
10:90	1010 ^{ab} ±22	4751 ^{ab} ±32	2403 ^j ±25	2348 ^b ±42	5634 ^s ±24	3231 ^e ±11	7.45 ⁱ ±0.04	25.00 ^{ns}
0:100	720 ^a ±53	3999±10 ^a	2565 ^k ±35	1434 ^a ±41	5983 ^h ±28	3417 ^f ±20	7.95 ^j ±0.04	25.05 ^{ns}

Mean value ± standard deviation of triplicates.

Mean value in the same column with different letter are significantly different ($p < 0.05$)

ค่าความหนืดสูงสุด (Hot peak visongศาสเซลเซียสosity, HPV) เป็นค่าความหนืดสูงสุดที่เกิดขึ้นในช่วงเพิ่มอุณหภูมิเป็น จาก 25 เป็น 95 องศาเซลเซียส จากตาราง 4.5 พบว่าค่า HPV ของสตาร์ชข้าวพรีเจลมีค่า 3999 เซ็นติพอยต์ ซึ่งต่ำกว่าค่าของสตาร์ชมันสำปะหลังพรีเจล (6956.00 เซ็นติพอยต์) นอกจากนี้สัดส่วนของสตาร์ชผสมมีผลต่อค่า HPV อย่างมีนัยสำคัญทางสถิติ (ตารางภาคผนวก ข.1) สตาร์ชผสมพรีเจล (ทุกสัดส่วน) มีค่า HPV สูงกว่าสตาร์ชข้าวพรีเจล แต่เฉพาะสตาร์ชผสมที่มีสตาร์ชมันสำปะหลังปริมาณ 50-90 เปอร์เซ็นต์และมีสตาร์ชข้าว 10-50 เปอร์เซ็นต์ มีความหนืดสูงกว่าสตาร์ชมันสำปะหลังพรีเจลเดี่ยวๆ เมื่อปริมาณสตาร์ชข้าวในสตาร์ชผสมเพิ่มขึ้น (60 เปอร์เซ็นต์ ขึ้นไป) ค่า HPV มีค่าลดลง จากการทดลองนี้พบว่าชุดการทดลองที่มีปริมาณสตาร์ชข้าว 10-40 เปอร์เซ็นต์ มีค่า HPV ใกล้เคียงกัน (9100-9700 เซ็นติพอยต์) และสูงกว่าชุดการทดลองอื่นๆ ทั้งหมด จะเห็นว่าการเปลี่ยนแปลง HPV คล้ายคลึงกับ CPV กล่าวคือ สตาร์ชข้าวในสตาร์ชผสมช่วยสนับสนุนให้ความหนืดสูงขึ้น กว่าสตาร์ชเดี่ยวๆ โดยเฉพาะสูงกว่าสตาร์ชมัน

ผลของสัดส่วนสตาร์ชผสมต่อการเปลี่ยนแปลงความหนืดของสตาร์ชผสมพรีเจล (ทั้ง CPV และ HPV) เป็นไปในลักษณะที่เป็นความสัมพันธ์แบบไม่เป็นเส้นตรง (non-linear) ดังรูปที่ 4.10 ดังนั้นจึงไม่สามารถคาดการณ์หรือทำนายความหนืดของสตาร์ชผสมพรีเจลจากความสัมพันธ์ระหว่างปริมาณสตาร์ชในสตาร์ชผสมกับความหนืดทั้ง 2 แบบได้ ชนิดและสัดส่วนสตาร์ชรวมถึงกระบวนการและสภาวะการให้ความร้อนในระหว่างพรีเจลาติไนซ์ เป็นปัจจัยหลักที่ส่งผลของการเปลี่ยนแปลงสมบัติของสตาร์ชผสมพรีเจลที่ได้

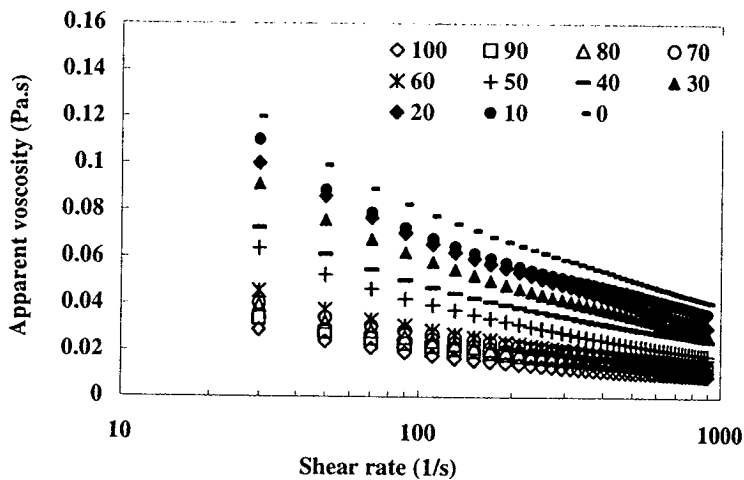


รูปที่ 4.10 ความสัมพันธ์ระหว่างปริมาณสตาร์ชข้าวในสตาร์ชผสมพรีเจลกับการเปลี่ยนแปลงความหนืด
 (a) Cold peak viscosity (b) hot peak viscosity

สำหรับค่าความหนืดต่ำสุด (Through viscosity) และความหนืดสุดท้าย (Final viscosity, FV) สตาร์ชข้าวพรีเจล มีค่าสูงสุด และสตาร์ชมันสำปะหลัง มีค่าต่ำสุด โดยสัดส่วนของสตาร์ชผสมมีผลต่อค่าดังกล่าวอย่างมีนัยสำคัญ (ตารางภาคผนวก ข.1) ค่าความหนืดทั้งสองค่านี้มีการเปลี่ยนแปลงในลักษณะเดียวกันคือเพิ่มขึ้นเมื่อปริมาณสตาร์ชข้าวเพิ่มขึ้น (หรือปริมาณสตาร์ชมันสำปะหลังลดลง) เมื่อสัดส่วนของสตาร์ชมันสำปะหลังเพิ่มขึ้นมีผลให้ค่า FV ลดลงอย่างมีนัยสำคัญ ($p < 0.05$) ความหนืดสุดท้ายเป็นความหนืดของตัวอย่างเมื่อมีการลดอุณหภูมิลงเป็น 25 องศาเซลเซียส ซึ่งอุณหภูมิที่ลดลงทำให้เกิดกลับมาจัดเรียงตัวของโมเลกุลอะมิโลสซึ่งมีผลให้เจลแข็งแรงขึ้นและความหนืดเพิ่มขึ้นถ้ามีปริมาณอะมิโลสสูงทำให้ค่าความหนืดเพิ่มมากขึ้น ดังนั้นจากตารางที่ 4.5 สตาร์ชข้าวมีปริมาณอะมิโลสสูงกว่าสตาร์ชมันสำปะหลังจึงทำให้เกิดการรีโทรเกรเดชันได้ดีกว่าและเมื่อสัดส่วนที่มีสตาร์ชข้าวเพิ่มมากขึ้นการเกิดรีโทรเกรเดชันก็เพิ่มสูงขึ้นด้วยจึงส่งผลให้ค่าความหนืดสุดท้ายของสตาร์ชผสมสูงขึ้นเมื่อปริมาณสตาร์ชข้าวเพิ่มขึ้น

4.2.3 พฤติกรรมการไหล

สตาร์ชพรีเจลทุกชุดการทดลอง แสดงพฤติกรรมการไหล แบบ shear thinning เช่นเดียวกับผลการศึกษาของ Na Na khon *et al.* (2009) โดยความหนืดปรากฏของสตาร์ชข้าวพรีเจลมีค่าต่ำสุดและค่าเพิ่มขึ้นเมื่อปริมาณสตาร์ชมันสำปะหลังในสตาร์ชผสมเพิ่มขึ้นและสตาร์ชมันสำปะหลังพรีเจลมีความหนืดสูงสุด



รูปที่ 4.11 พฤติกรรมการไหลของสตาร์ชพรีเจลที่เตรียมจากสตาร์ชผสมระหว่างสตาร์ชมันสำปะหลังและ สตาร์ชข้าว (ตัวเลข 0, 10, 20,..., 100 คือปริมาณสตาร์ชข้าวในสตาร์ชผสม)